



КІЇВСЬКИЙ МІСЬКИЙ КЛІНІЧНИЙ
ОНКОЛОГІЧНИЙ ЦЕНТР
ЦЕНТР ЯДЕРНОЇ МЕДИЦИНІ
03115, м. Київ, вул. Верховинна, 69
petctkyiv@ukr.net

Протокол поєднаного ПЕТ-КТ дослідження

Пацієнт (П.І.Б.): Усик Сергій Олексійович

Дата народження: 23.06.1983

№ медичної карти: 4580/14

Вага пацієнта: 57

Дата проведення дослідження: 23/04/2014

Апарат на якому проводилось дослідження: ПЕТ-КТ GE Discovery STE16

РФП: 18 F-FDG

Активність РФП: 233.5 МБк

Шлях введення РФП: в/венно

Ефективна доза low-dose КТ: 5.3 мЗв

Ефективна доза ПЕТ: 4.4 мЗв

Підготовка: дослідження проведено натще, пероральне водне навантаження. В/в введення контрастної речовини Візіпак-320мгйод/мл 1 фл

Область обстеження: від надбрівних дуг до верхньої третини стегна

Показник цукру на момент обстеження: 4.9 ммоль/л

Діагноз: НХЛ ст. II-B, кл.гр.II.

Anamnesis morbi:

Хіміотерапія – останній курс 2.04.2014

Променева терапія – не проводилась

Описання знімків ПЕТ-КТ дослідження: На серії томограм візуалізується:

Шия:

Зліва візуалізується конгломерат нижніх шийних лімфовузлів як ділянка високої інтенсивності патологічної гіперметаболічної активності $SUV=22,7$ овальної форми з нечіткими контурами, метаболічним розміром $19,3\times18,9\times36,2$ мм.

Зліва візуалізується надключичний лімфовузол як ділянка високої інтенсивності патологічної гіперметаболічної активності $SUV=13,2$ овальної форми з чіткими контурами, метаболічним розміром $15,2\times12,1\times11,8$ мм.

Праворуч візуалізуються надключичні лімфовузли як ділянки високої інтенсивності патологічної гіперметаболічної активності $SUV=10,3$, $SUV=11,4$ та $SUV=19,7$ неправильної форми з нечіткими контурами, зливаються в конгломерати метаболічним розміром $11,3\times12,2$ мм, $9,3\times21,0$ мм та $16,8\times24,5$ мм.

Грудна клітина:

На рівні рукоятки грудини праворуч візуалізується лімфовузол як ділянка високої інтенсивності патологічної гіперметаболічної активності $SUV=4,4$ неправильної форми з нечіткими контурами, метаболічним розміром $7,6\times8,4$ мм.

В лівій аксілярній області візуалізуються лімфовузли як ділянка високої інтенсивності патологічної гіперметаболічної активності $SUV=17,7$ неправильної форми з чіткими контурами, метаболічним розміром $19,6\times32,6$ мм.

Зліва візуалізується підключичний лімфовузол як ділянка високої інтенсивності патологічної гіперметаболічної активності $SUV=11,7$ овальної форми з чіткими контурами, метаболічним розміром $13,5\times10,1$ мм.

З обох сторін візуалізуються верхні паратрахеальні лімфовузли як ділянки високої інтенсивності патологічної гіперметаболічної активності SUV від $13,5$ до $19,5$ овальної форми з нечіткими контурами, зливаються між собою, метаболічним розміром $7,1\times8,4$ мм до $17,2\times15,7$ мм.

Візуалізується ретротрахеальний лімфовузол як ділянка високої інтенсивності патологічної гіперметаболічної активності $SUV=17,1$ овальної форми з чіткими контурами, метаболічним розміром $12,9\times18,0$ мм.

В передньому середостінні візуалізується м'якотканинне утворення прилягаю дуги аорти та легеневого стовбуру з розповсюдженням на корінь лівої легені та з проростанням в верхню долю лівої легені, високої інтенсивності патологічної гіперметаболічної активності $SUV=19,0$ неправильної форми з нечіткими контурами, метаболічним розміром $101,6\times99,1\times140,6$ мм. В центрі даного утворення візуалізується аметаболічна ділянка, розміром $44,5\times48,6$ мм. – зона розпаду.

Візуалізується преваскулярний лімфовузол як ділянка високої інтенсивності патологічної гіперметаболічної активності $SUV=17,5$ овальної форми з чіткими контурами, метаболічним розміром $13,8\times10,1$ мм.

Візуалізується нижні паратрахеальні лімфовузли з обох сторін як 2 ділянки високої інтенсивності патологічної гіперметаболічної активності $SUV=13,5$ (праворуч) та $SUV=10,3$ (зліва) овальної форми з чіткими контурами, метаболічним розміром $10,6\times11,3$ мм (праворуч) та $10,9\times15,9$ мм (зліва).

На рівні біфуркації трахеї візуалізуються біфуркаційні лімфовузли у вигляді конгломерату високої інтенсивності патологічної гіперметаболічної активності SUV= 17,6 неправильної форми з нечіткими контурами, метаболічним розміром 16,8x34,4 мм.

В корені лівої легені візуалізуються бронхопульмональні лімфовузли як ділянка високої інтенсивності патологічної гіперметаболічної активності SUV=19,6 овальної форми з чіткими контурами, метаболічним розміром 11,9x22,9 мм.

Зліва візуалізуються передперикардіальні лімфовузли як ділянки високої інтенсивності патологічної гіперметаболічної активності SUV від 6,1 до 10,8 овальної форми з нечіткими контурами, метаболічним розміром від 8,4x8,0 мм до 11,3x10,1 мм.

На рівні мечоподібного відростка грудини зліва візуалізуються паракстернальні лімфовузли ділянка високої інтенсивності патологічної гіперметаболічної активності SUV= 7,3 SUV= 12,3 SUV= 13,7 овальної форми з чіткими контурами, метаболічним розміром 8,4x8,0 мм, 10,5x15,1мм та 18,9x12,6 мм.

Черевна порожнина: фізіологічний розподіл РФП

Малий таз: фізіологічний розподіл РФП

Скелет: нормальний розподіл радіоактивного препарату

В міокарді, нирках та сечовому міхурі відмічається фізіологічне накопичення РФП

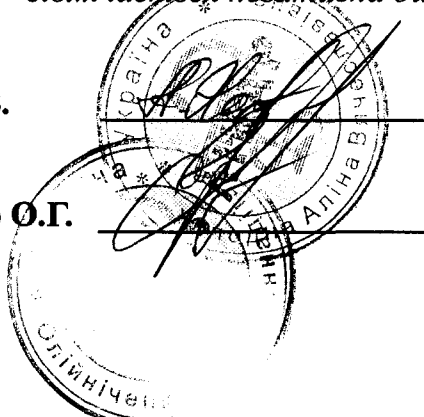
Заключення:

На момент обстеження виявлено ПЕТ/КТ ознаки патологічного накопичення РФП в м'якотканинному утворенні в передньому середостінні з інвазією в верхню долю лівої легені з наявною зоною розпаду, в шийних лімфовузлах зліва, в надключичних та підключичних лімфовузлах, в аксілярних зліва, в лімфовузлах грудної порожини, що є характерно для активного лімфопроліферативного процесу.

При порівнянні з ПЕТ/КТ від 05.03.2014 – відмічається негативна динаміка.

Лікар ядерної медицини Холодна А.В.

Лікар ядерної медицини Олійніченко О.Г.



Дане заключення не може бути достовірним діагнозом. Рекомендовано консультація профільних спеціалістів для встановлення остаточного діагнозу.

Знімки обстеження видані на руки.

PHILIPS

USYK .S.O

M

4580/14

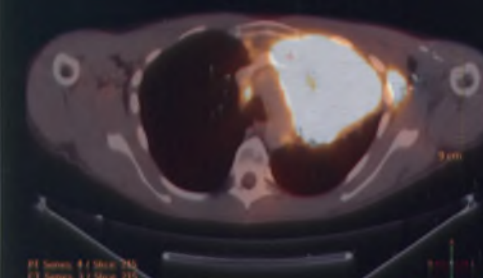
Kiev Onkology Clinic

USYK .SON PET AC .30
4580/14 M/30y
PT 4/2/2014
CT 4/2/2014

Key Oncology Clinic USYK .SON PET AC .30
GE MEDICAL SYSTEMS, Discovery STE
4580/14 M/30y
PT 4/2/2014
CT 4/2/2014

Key Oncology Clinic USYK .SON PET AC .30
GE MEDICAL SYSTEMS, Discovery STE
4580/14 M/30y
PT 4/2/2014
CT 4/2/2014

Key Oncology Clinic GE MEDICAL SYSTEMS, Discovery STE
4580/14 M/30y
PT 4/2/2014
CT 4/2/2014



USYK .SON PET AC .30
4580/14 M/30y
PT 4/2/2014
CT 4/2/2014



USYK .SON PET AC .30
GE MEDICAL SYSTEMS, Discovery STE
4580/14 M/30y
PT 4/2/2014
CT 4/2/2014



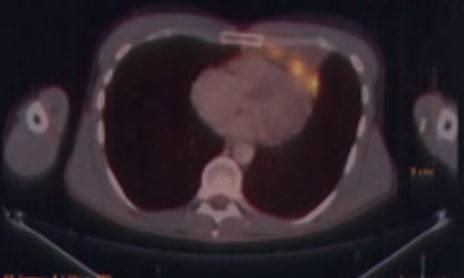
USYK .SON PET AC .30
GE MEDICAL SYSTEMS, Discovery STE
4580/14 M/30y
PT 4/2/2014
CT 4/2/2014



USYK .SON PET AC .30
4580/14 M/30y
PT 4/2/2014
CT 4/2/2014



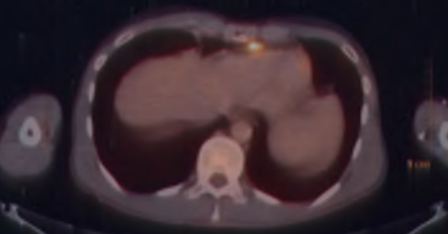
USYK .SON PET AC .30
GE MEDICAL SYSTEMS, Discovery STE
4580/14 M/30y
PT 4/2/2014
CT 4/2/2014



USYK .SON PET AC .30
GE MEDICAL SYSTEMS, Discovery STE
4580/14 M/30y
PT 4/2/2014
CT 4/2/2014



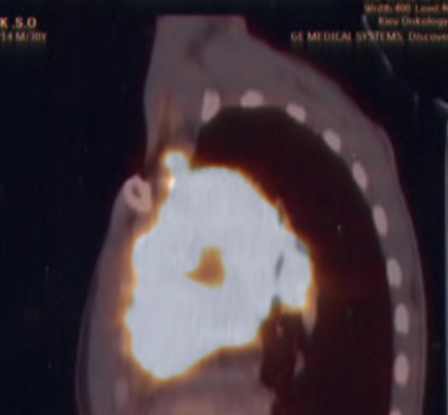
USYK .S.O
4580/14 M/30y



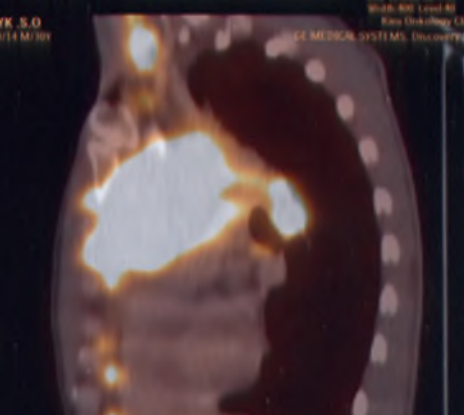
USYK .S.O
GE MEDICAL SYSTEMS, Discovery STE
4580/14 M/30y



USYK .S.O
GE MEDICAL SYSTEMS, Discovery STE
4580/14 M/30y



USYK .S.O
GE MEDICAL SYSTEMS, Discovery STE
4580/14 M/30y



USYK .S.O
GE MEDICAL SYSTEMS, Discovery STE
4580/14 M/30y